doi:10.3969/j.issn.1006-9852.2023.03.013

## • 临床病例报告 •

# CT 引导下经皮后路脊柱内镜治疗胸椎黄韧带 骨化症的疗效分析

宁本翔 林 建 王婷婷 朱 彤<sup>△</sup> 陶高见 (南京大学医学院附属鼓楼医院疼痛科,南京 210000)

胸椎黄韧带骨化症 (thoracic ossification of the ligamentum flavum, TOLF) 是造成胸椎管狭窄和脊髓 压迫的主要疾病, 高达 51% 因胸段脊髓压迫需要手 术的病人与黄韧带骨化相关[1],其特征为胸椎黄韧 带的异位骨化。TOLF 以东亚地区多见<sup>[2]</sup>,国内人 群发病率为3.8%~63.9% [3~5]。主要症状为胸背部 疼痛、胸部束带感、下肢麻木、乏力,严重时可出 现步态异常、下肢痉挛性瘫痪等。若病人出现脊髓 压迫症状,保守治疗往往效果不佳,建议早期行减 压手术治疗 [2.6]。 开放性手术是目前治疗 TOLF 的主 流,但是创伤大、费用高、恢复时间长。随着脊柱 内镜技术的成熟,采用脊柱内镜手术是治疗 TOLF 的一个发展方向。本研究回顾性分析 2021 年 11 月 至 2022 年 2 月我科在 CT 引导下经皮后路脊柱内镜 治疗 TOLF 6 例,取得明显的疗效,总结了一定的 经验。现报告如下。

#### 方 法

## 1. 一般资料

本研究共纳入 TOLF 病人 6 例,其中男性 3 例, 女性 3 例。6 例病人一般资料见表 1。

纳入标准:① MR、CT 提示单节段 TOLF;② 症状、体征与影像学相符,典型症状包括:胸背部疼痛、胸部束带感、下肢麻木无力、步态异常等;③保守治疗3个月无改善;④初次接受胸椎手术且同意接受胸椎脊柱内镜手术。

排除标准:①既往有胸椎外伤史、手术史;② 存在胸椎脊柱畸形;③不能配合手术(精神异常或 不能耐受手术体位);④存在手术禁忌证(如全身 感染未控制、凝血功能异常、3个月内心脑血管疾 患等)。

#### 2. 手术方法

病人入室后,取俯卧位。CT 平扫根据钙化位 置确定手术靶点(骨化的黄韧带)和穿刺路径(见 图 1)。常规消毒铺巾,1%利多卡因逐层浸润麻醉, 取 18G 穿刺针沿穿刺路径至椎板。CT 平扫确定穿 刺针位置可,再注入1%利多卡因5 ml。经穿刺点 做 10 mm 左右手术切口,置入导丝,逐层扩张软组 织并置入 9 mm 工作套管。经工作套管置入 7.5 mm 环锯, 在椎板上轻旋 2~3 mm, 作为镜下标记。CT 平扫确认环锯与靶点的相对位置, 根据环锯与靶点 的相对位置微调开窗位置(见图2)。于环锯内置 入脊柱内镜, 镜下清除软组织、暴露骨质及环锯印 记,以该印记为镜下标志物(见图3)。参照CT 平扫所得环锯与靶点的相对位置, 镜下环锯打磨椎 板与部分关节突关节(见图4)。开窗后利用神经 拉钩仔细分离黄韧带与硬膜囊间隙,金刚砂磨钻、 咬骨钳去除骨化的黄韧带,暴露椎管。CT 平扫检 查骨化组织是否完成清除,有目标的去除残余致压 物。待硬膜囊和/或神经根波动良好、无明显致压、 症状改善(见图5),彻底止血后结束手术。

#### 3. 评价指标

记录术前、术后 3 天、术后 6 个月视觉模拟评分法 (visual analogue scale, VAS) 评分评估疼痛情况;

表 1 一般资料

表 1 一般负科				
项目	病例 (n=6)			
平均年龄	60.5±14.5 (44~78)			
男/女	3/3			
病程(月)	93.5±72.4 (4~180)			
手术节段	$T_{23}$ 1 例; $T_{1011}$ 2 例; $T_{1112}$ 2 例; $T_{12}L_1$ 1 例			
手术时长 (min)	$61.7 \pm 16.0 \ (40 \sim 90)$			
术后住院时间(天	$3.3 \pm 0.5 (3 \sim 4)$			
术后并发症	16.7%(1例出现肋间神经痛,3天后缓解)			

<sup>△</sup> 通信作者 朱彤 1911033561@qq.com



**图 1** 利用 CT 平扫,以骨化的黄韧带为靶点,精准设计 穿刺路径(白色箭头所示)

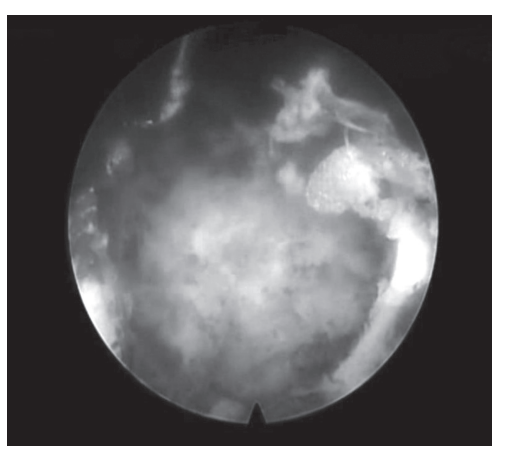


图 3 环锯于椎板表面轻旋留下的痕迹,结合 CT 平扫结果,以整个环形齿痕作为镜下视野的参照物

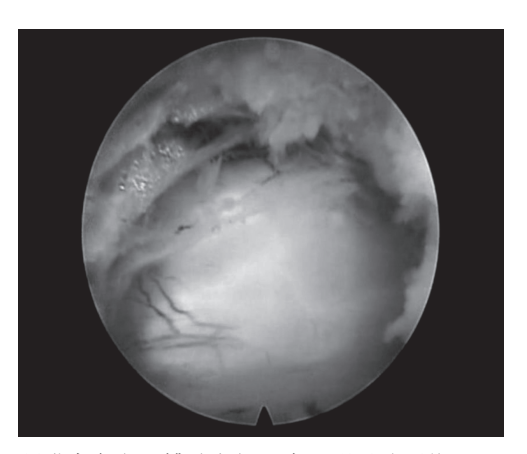


图 5 硬膜囊充血、搏动良好, 未见明显致压物

术前、术后 6 个月记录 Oswestry 功能障碍指数评分 (Oswestry disability index, ODI); 术后 6 个月记录改良 MacNab 分级评估临床预后: "优"为症状完全消失,恢复原来的工作和生活; "良"为有轻微症

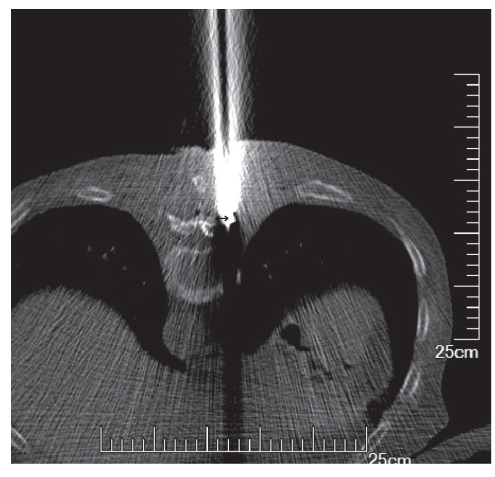


图 2 置入环锯后轻旋 2~3 mm,通过 CT 平扫可以判定锚定点位置不佳,经 CT 下测量(黑色箭头所示)需向内微调 4~5 mm

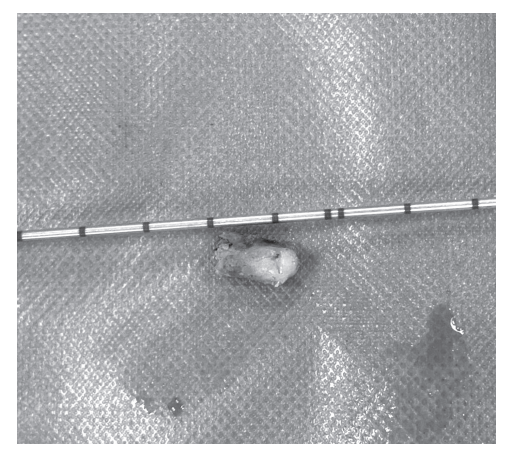


图 4 镜外环锯磨除的骨质

状,活动轻度受限,对工作生活无异常; "可"为症状减轻,活动受限,影响正常工作和生活; "差"为治疗前后无差别,甚至加重。记录术中有无脊髓和/或神经根损伤、硬膜囊撕裂、脑脊液漏、感染等并发症。

术前定位、术后 3 天行 CT 检查,通过医学影像处理软件(规格型号: uWS-MR, 上海联影医疗科技有限公司)计算横断面椎管面积残余率<sup>[7]</sup>。 CT 横断面椎管面积残余率=椎管面积/椎管发育性面积×100%; 椎管面积: 取同一椎体的椎弓根平面图像,测量其最宽处的椎弓根间距,将这一间距作为黄韧带骨化最大平面上的椎管横径,作过此横径两端点的垂直线为椎管侧界,再测量其椎管面积;椎管发育性面积: 即同一椎体椎弓根平面的椎管横断面积(见图 6)。

## 4. 统计学分析

采用 SPSS 23.0 统计软件进行统计分析,正态

2023疼痛3期内文:indd 235

分布的计数资料以均数  $\pm$  标准差 ( $\bar{x}\pm SD$ ) 表示, VAS 评分、ODI 评分、椎管面积残余率采用配对 t 检验,改良 MacNab 分级采用卡方检验。P<0.05 为差异有统计学意义。

#### 结 果

#### 1. 术后评价指标

VAS 评分术后 3 天即有明显改善,疼痛术后 6 个月进一步减轻; ODI 评分在术后 6 个月明显降低; 改良 MacNab 分级评估 6 例病人预后,有 5 例 "优"、1 例 "良",优良率 100% (见表 2); 有 1 例病人在术后出现肋间神经痛,3 天后消失。

#### 2. 横断面椎管面积残余率

术前椎管面积残余率为  $81.86\%\pm9.61\%$ ,术后 6 个月为  $96.30\%\pm9.21\%$ ,有明显增加(P<0.001,见表 2)。

#### 讨 论

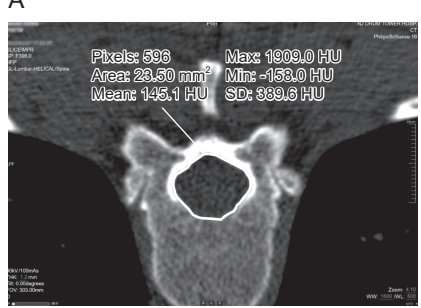
胸椎黄韧带骨化症 (TOLF) 是常见的脊柱退行性病变,主要发生在下胸椎,一旦确诊需尽早行减压手术治疗,防止脊髓、神经受压而形成不可逆的损伤。传统的开放手术术式包括: 椎板切除术、椎板切开术、椎板成形术等<sup>[8]</sup>。近年来,经皮脊柱内镜技术逐渐成为传统开放手术的"替代"治疗方式。脊柱内镜技术始于 1998 年 Yeung 等<sup>[9]</sup>首 创 YESS 技术 (yeung endoscopic spine system),

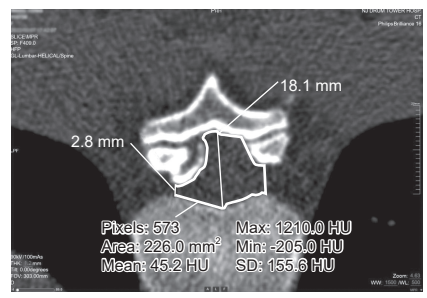
2002 年 Hoogland 等 [10] 在此基础上行技术改进提出了 TESSYS 技术 (transforaminal endoscopic spine system)。经皮脊柱内镜技术历经 20 余年发展,在技术、器械、微创理念方面已趋于成熟,手术适应证也不断拓展。目前脊柱内镜技术治疗 TOLF 仍处于初步探索阶段,我们以"胸椎黄韧带骨化症""脊柱内镜"为关键词于中国知网、万方数据知识服务平台检索,共计获得 6 篇文献 [11-16]。本研究以本团队手术的病例对经皮后路脊柱内镜技术治疗 TOLF 总结经验、分析不足。

#### 1. 引导方式

本研究均在 CT 引导下完成手术,现将引导方 式的优势总结如下: ①穿刺路径定位精确,检索到 的 6 篇文献报道均采用 X 线下节段定位, 本研究 CT 下定位骨化的黄韧带为靶点,可以做到精确定 位;②精准减压,胸椎解剖结构、组织形态、骨化 位置因人而异,不同于腰椎在脊柱内镜下有明确的 解剖定位结构,采用 X 线下节段定位,根据术前 CT 或 MR 粗略估计减压范围,会造成减压过多影 响脊柱稳定性或减压不足影响疗效等可能, 更甚至 可能出现节段错误的重大事故。对术者脊柱内镜手 术经验要求高、学习曲线长, CT 平扫可以清晰显 示胸椎解剖结构、骨化组织, 从而精准的规划出 减压范围; ③手术结束的参考指标, X 线引导手 术的结束指标,均以镜下视野为主(硬膜囊、神 经根、脊髓受压部位解压),往往依赖于术者的 经验, CT 平扫可以清晰显示骨化组织是否有残留、 减压是否充分,结合镜下视野,在结束手术前对残

С





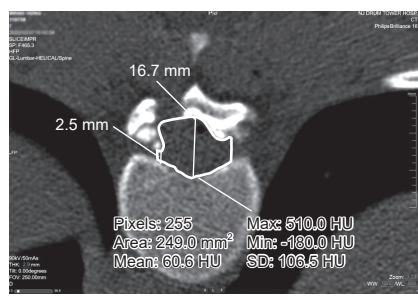


图 6 (A) 椎管发育性面积; (B) 术前椎管面积; (C) 术后椎管面积

B

表 2 术后评价指标比较

	VAS 评分	ODI 评分	椎管面积残余率 (%)	改良 MacNab 分级 (%)
术前	$6.00 \pm 1.10$	$69.63 \pm 12.62$	$81.86\% \pm 9.61\%$	-
术后3天	$1.50 \pm 0.55***$	-	-	-
术后6个月	$0.33 \pm 0.52 ***$	5.56±5.58***	$96.30\% \pm 9.21\%$ ***	100%

<sup>\*\*\*</sup>P < 0.001, 与术前相比

2023疼痛3期内文.indd 236 2023/3/15 14:45:39

留骨化组织进一步清理,可以做到充分、有目标的 减压。

#### 2. 锚定方法

颈椎有"V点"作为脊柱内镜下视野解剖标志, 腰椎有关节突关节、"安全三角"作为参考,胸椎 解剖结构在镜下无明显参照物, 黄韧带骨化组织变 异大、分型多,有学者按照 TOLF 骨化的不同程度 和位置可分为五种类型[1],对于术者尤其是初次接 触胸椎脊柱内镜的术者而言,会有一种镜下"迷失" 感。为解决该难题, 王可然等[11] 用 2.0 克氏针锚 定病变节段, 然后利用超声骨刀或高速磨钻开窗、 减压。本研究采用 CT 下镜外环锯锚定的方法:逐 层扩张至目标椎板后置入环锯轻旋 2~3 mm, 然后 CT 平扫明确环锯位置是否理想, 若位置佳, 于环 锯内置入脊柱内镜, 直视下环锯打磨, 然后利用磨 钻打磨残留的骨化组织; 若位置不佳, 以环锯的齿 痕为参照物,结合CT平扫测量的结果有目标的调 整。该锚定方法的优势: ①环锯直径较大, 环形齿 痕明显, 易于辨认, 克氏针仅为一个点; ②环锯相 比于克氏针不易进椎管。Wu 等[17] 报道颈椎后路脊 柱内镜手术中使用克氏针锚定出现2例全脊髓麻醉, 有脊髓损伤的风险,胸椎脊柱内镜使用克氏针锚定 的文献较少,检索到的6篇文献中仅有1篇使用了 锚定方法, 故相关并发症的报道较少; ③环锯锚定 后根据 CT 平扫结果测量与靶点位置的差距, 镜下 可有方向的微调,从而有利于精准减压。

## 3. 经皮后路脊柱内镜治疗 TOLF 的优势

一项针对16项临床研究(包含465例病人) 的系统性回顾表明开放手术的平均恢复率为31%~ 68%, 平均并发症发生率为24%, 其中脑脊液漏是 最常见的术后并发症(19%),其次是神经功能恶化 (5%) [18]。本研究并发症发生率 16.7%, 仅 1 例出现 短时间的肋间神经痛, 考虑是手术中工作套管压迫 神经导致。相较于开放手术,经皮后路脊柱内镜治 疗 TOLF 有如下优势: ①局部麻醉清醒下手术,病 人在清醒状态可以及时反馈可能的神经刺激或脊髓 压迫等造成的异感,相当于更高效、及时、准确、 无干扰的电生理监测, 尤其是在分离直接压迫硬膜 囊的骨化组织时,高速磨钻、咬骨钳过深易造成神 经、脊髓的压迫,从而出现神经功能恶化的可能, 病人的及时反馈可以提醒术者操作轻柔仔细;②镜 下视野清晰,常用脊柱内镜可以放大20倍视野, 利用镜下电极充分止血, 在有冲洗液的环境中可清 晰分辨组织间隙,易于操作;③结合影像引导技术, 运用合理的技术能够实现精准减压,具有创伤小、

花费少、恢复快、不影响脊柱稳定性等优势。

本研究尚存在不足之处:研究样本较少,需要进一步行大样本的临床研究;随访时间短,本研究随访时间6个月,需要进一步延长随访时间以观察后期临床效果;缺少对照组,本研究均为经皮后路脊柱内镜组,可考虑与外科手术组进行对照研究。

经皮后路脊柱内镜治疗 TOLF 尚处于探索阶段,引导方法、手术技巧、手术器械等仍有较大的进步空间。但是在现有的研究中,该技术在治疗TOLF 方面已经体现出了一定的优势,值得进一步探讨和研究。

利益冲突声明: 作者声明本文无利益冲突。

#### 参考文献

- [1] Aizawa T, Sato T, Sasaki H, et al. Thoracic myelopathy caused by ossification of the ligamentum flavum: clinical features and surgical results in the Japanese population[J]. J Neurosurg Spine, 2006, 5(6):514-519.
- [2] Ahn DK, Lee S, Moon SH, *et al.* Ossification of the Ligamentum Flavum[J]. Asian Spine J, 2014: 8:89-96.
- [3] Guo JJ, Luk KDK, Karppinen J, et al. Prevalence, distribution, and morphology of ossification of the ligamentum flavum: a population study of one thousand seven hundred thirty-six magnetic resonance imaging scans[J]. Spine (Phila Pa 1976), 2010, 35(1):51-56.
- [4] Liang H, Liu G, Lu S, et al. Epidemiology of ossification of the spinal ligaments and associated factors in the Chinese population: a cross-sectional study of 2000 consecutive individuals[J]. BMC Musculoskelet Disord, 2019, 20(1):253.
- [5] Lang N, Yuan HS, Wang HL, *et al*. Epidemiological survey of ossification of the ligamentum flavum in thoracic spine: CT imaging observation of 993 cases[J]. Eur Spine J, 2013, 22(4):857-862.
- [6] Hirabayashi S. Ossification of the ligamentum flavum[J]. Spine Surg Relat Res, 2017, 1(4):158-163.
- [7] 刘宁. 胸椎黄韧带骨化椎管侵占与神经损害的关系[R]. 北京: 北京大学. 2007.
- [8] 鲁澜涛,朱健,孙凯强,等.胸椎黄韧带骨化症的手术治疗进展[J].脊柱外科杂志,2021,19(5):341-346.
- [9] Yeung AT, Yeung CA. Advances in endoscopic disc and spine surgery: foraminal approach[J]. Surg Technol Int, 2003, 11:255-63.
- [10] Hoogland T, Schubert M, Miklitz B, *et al.* Transforaminal posterolateral endoscopic discectomy with or without the combination of a low-dose chymopapain: a prospective randomized study in 280 consecutive cases[J]. Spine, 2006, 31(24):E890-E897.

- [11] 王可然,廖从刚,高翔,等.经皮脊柱内镜治疗胸椎 黄韧带骨化症的临床研究[J].中国骨与关节杂志, 2019, 8(2):92-97.
- [12] 王朝晖,崔为良,薛经来,等.微创脊柱内镜治疗胸椎黄韧带骨化症的疗效评价及相关性研究[J]. 吉林 医学,2020,41(7):1594-1597.
- [13] 齐慧,吴彬彬,占恭豪,等.经皮后路脊柱内镜手术治疗胸椎黄韧带骨化症2年疗效随访研究[J].中国微创外科杂志,2020,20(8):717-720.
- [14] 李岳飞,李瑞,王光林,等.后路经皮内镜减压治疗胸椎黄韧带骨化症[J].中国矫形外科杂志,2020,28(15):1390-1394.
- [15] 程晓康, 陈宾, 裴瑞琪, 等. 经皮内镜技术治疗胸

- 椎黄韧带骨化症 1 例报告 [J]. 实用骨科杂志, 2019, 25(9):852-855.
- [16] 何丁文,缪新新,吴添龙,等.经皮脊柱内镜微创技术治疗胸椎黄韧带骨化症[J].中国矫形外科杂志,2019,27(11):1039-1042.
- [17] Wu W, Yan Z. Intraoperative total spinal anesthesia as a complication of posterior percutaneous endoscopic cervical discectomy[J]. Eur Spine J, 2018, 27(S3):431-435.
- [18] Hou X, Chen Z, Sun C, et al. A systematic review of complications in thoracic spine surgery for ossification of ligamentum flavum[J]. Spinal Cord, 2018, 56(4): 301-307.

# ・国际译文・

# 早期爱抚通过速激肽 1一催产素通路促进成年社会交往

爱抚是母鼠和幼鼠交流的重要方式。早期的爱抚让幼鼠感到舒服、安全,有助于幼鼠长大后建立亲社 会行为。催产素是"爱的荷尔蒙",促进社会交往。爱抚不仅可以提高血浆的催产素含量,还可以促进催产 素神经元 c-fos 表达。爱抚通过什么神经环路促进社会交往?北京大学于翔团队对此进行解析。主要结果: (1) 研究者模拟母鼠对幼鼠的爱抚行为,给予幼鼠规律、轻柔温和、能激发愉悦感的抚摸刺激。在分子和细胞 层面, 爱抚增加下丘脑室旁核 (paraventricular hypothalamus, PVH) 催产素表达, 并且提高催产素神经元的自 发放电频率。在行为层面,早期接受过爱抚的小鼠,成年后表现出更多的社会交往和积极的条件性位置偏好 (conditioned place preference, CPP)。(2)在催产素基因敲除小鼠中,上述爱抚诱导的分子、细胞和行为学变 化,均显著下降。通过化学遗传学方法激活幼鼠催产素神经元,小鼠成年后,表现出更多的社交交往和积极 的 CPP。因此,爱抚通过激活 PVH 催产素神经元活动,促进社会交往。(3)PVH 催产素神经元的上游脑 区在哪儿?该脑区如何将触觉信息传入给PVH的催产素神经元?采用逆行示踪和光遗传学等方法证明,外 侧和腹外侧中脑导水管周围灰质 (lateral and ventrolateral periaqueductal gray, l/vlPAG) 的速激肽 1型 (tachykinin 1, Tac1<sup>†</sup>) 神经元,可与 PVH 的催产素神经元建立兴奋性单突触连接,促进催产素的释放。(4)进一步的逆 行示踪结果表明,PVH的 Tac1<sup>†</sup>神经元接收来自脊髓三叉神经核(Sp5)、薄束核以及楔束核的投射。这三个 核团,恰好可以传递外界的触觉信息。(5)特异性敲除 l/vlPAG 的 Tac1<sup>+</sup>神经元,或者抑制 Tac1<sup>+</sup>神经元的 电活动,均可以降低早期爱抚的作用。(6)特异性激活 l/vlPAG 的 Tac1<sup>†</sup>神经元,可以增加爱抚的作用,促 进社会交往。因此,早期爱抚通过激活 l/vlPAG 的 Tac1<sup>+</sup> 神经元,诱发 PVH 催产素的释放,进而促进成年的 社会交往。该研究为孤独症等疾病的治疗提供新思路。

(Yu H, Miao W, Ji E, *et al.* Social touch-like tactile stimulation activates a tachykinin 1-oxytocin pathway to promote social interactions. Neuron, 2022, 110(6):1051-1067.e7. 北京大学神经科学研究所,刘风雨 译)